



265.- Idem anterior.



266.- Procesos cársticos en la Caliza de Candana (CA<sub>1</sub>c).



285.- Depresión de Sarria.



286.- Dolina de dimensiones medias  
en las Capas de Villamea

(CA<sub>2-3</sub>-0<sup>1</sup><sub>12</sub>) provocada por di  
solución<sup>1</sup> de la Caliza de Ve  
gadeo infrayacente.



288.- Hundimiento por procesos de disolución en la Caliza de Candana (CA<sub>1</sub>c).



292.- Superficie de 1.000 m. Al  
fondo, depresión de Sarría.



300.- Detalle de la dolina anterior.



302.- Superficie de 1.000 m.



306.- Hundimiento por procesos de disolución en Caliza de Vega deo ( $CA_{1-2}^c$ ).



307.- Procesos de disolución en la  
Caliza de Vegadeo (CA<sub>1-2</sub>c).



309.- Dolina rellena en la cantera  
abandonada de Outeiro.



317.- Deslizamiento de ladera.

318.- Kink-band producido por hundimiento de origen cárstico. Pizarras de Candana (CA<sub>1</sub>P<sub>1</sub>).





319.- Hundimiento en la Caliza de Vegadeo ( $CA_{1-2}^c$ ) con pliegues y roturas del material hundido.



322.- Flexión producida en las Pizarras de Candana ( $CA_{1P_1}$ ) provocada por procesos de disolución en la caliza infra-yacente.



323. - Idem anterior.



671.- Vista de la superficie de  
500 m. (Plano medio de la  
fotografía y en sombra.



672.- Vista de la superficie de  
500 m. (Iluminada).



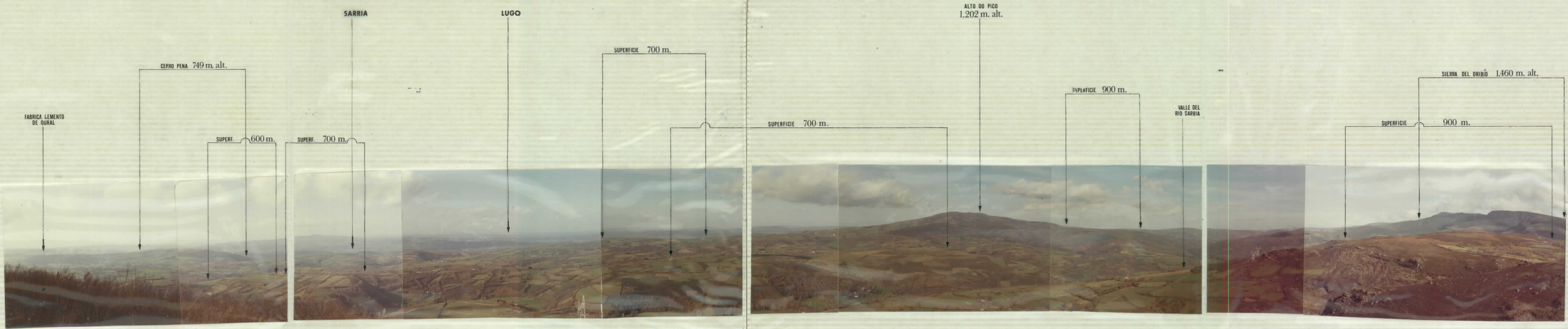
677.- Vista de la depresión de Sarría desde el Castro de San Juan.



681.- Vista de la depresión de Sarría desde la superficie Plio-Cuaternaria.

20124

20124



700.- Panorámica de la Hoja de Sarria tomada desde el Sur de la misma.



739.- Superficie de 600 m. En el pla  
no medio de la fotografía, pla  
taforma de 500 m.



744.- Cerro Pena (720 m). Observese  
la marcada hombreira, que co-  
rresponde a la superficie de  
600 m.



745.- Superficie de 800 m.



746.- Valle en "Y"